

Л и т е р а т у р а

- [1] F e r g a s o n J.L. - SID Int. Symp. Tech. Pa-
pers, 1985, v. 16, p. 68-70.
- [2] D r z a i c P.S. - J. Appl. Phys., 1986, v. 60,
N 6, p. 2142-2148.
- [3] Кирьяшкина З.И., Названов В.Ф., Филипп-
ченко В.Я., Лебедина Г.А., Елистратов В.А.-
Письма в ЖТФ, 1975, т. 1, в. 22, с. 1044-1048.
- [4] Названов В.Ф., Новиков А.В. - Письма в ЖТФ,
1985, т. 11, в. 1, с. 11-13.

Саратовский государственный
университет
им. Н.Г. Чернышевского

Поступило в Редакцию
19 июня 1987 г.
В окончательной редакции
с 6 октября 1987 г.

Письма в ЖТФ, том 14, вып. 2

26 января 1988 г.

КОНЦЕНТРАЦИОННЫЙ СДВИГ ЭЛЕКТРОННОГО РЕЗОНАНСА В КОМПОЗИЦИОННЫХ СВЕРХРЕШЕТКАХ

А.И. Усоцкий, В.А. Корниенко,
О.А. Попова

Сдвиг частоты экситонного резонанса в композиционной сверхрешетке (СР) связывается как с изменением энергетического спектра полупроводника [1], так и с нелокальным электромагнитным взаимодействием [2]. Сдвиг может вызываться также изменением энергии связи экситона большого радиуса, становящегося двумерным в слоях СР [1-3].

В настоящей работе исследован сдвиг частоты, обусловленный иным механизмом, связанным с отличием "действующего" электрического поля световой волны в полупроводнике от среднего макроскопического поля в СР.

1. Рассмотрим СР, образованную из чередящихся слоев диэлектрика и полупроводника, толщина которых много меньше длины световой волны. Пусть для диэлектрика частотная зависимость диэлектрической постоянной ϵ_0 отсутствует, а для полупроводника в районе экситонного пика имеет вид $\epsilon_i = \epsilon_f + (4\pi Ne^2/m)/(\omega_0^2 - \omega^2 + i\omega\gamma)$, где N , e , m - эффективные значения концентрации, заряда и массы осцилляторов с резонансной частотой ω_0 ; ϵ_f - не зависит от частоты. Если толщина слоев настолько мала, что можно пренебречь нелокальными эффектами [2], уравнение движения любого экситонного осциллятора в полупроводниковом слое может быть записано как

$$\ddot{x} + \nu \dot{x} + \omega_0^2 x = \frac{e}{m} E_i e^{i\omega t}. \quad (1)$$

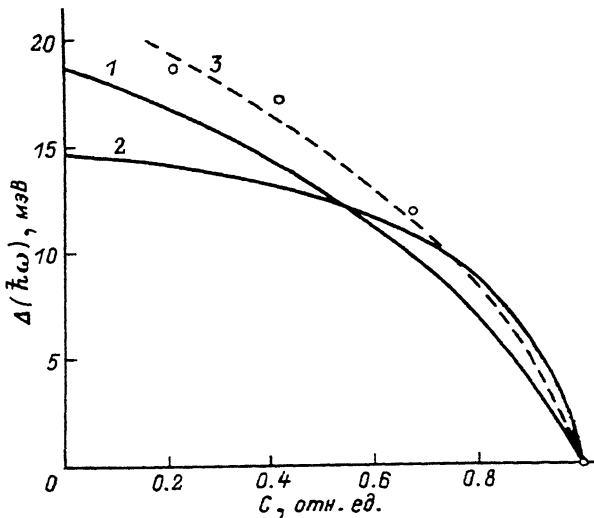


Рис. 1. Зависимости $\Delta(\hbar\omega)$ от C . 1, 2 - расчет по формуле (3) для слоев PbI_2 с $C_s \parallel c$ и $C_s \perp c$ соответственно при $\hbar\omega_0 = 2.51$ эВ, $\left(\frac{4\pi Ne^2\hbar^2}{m}\right)_\parallel = 0.377$ эВ², $\left(\frac{4\pi Ne^2\hbar^2}{m}\right)_\perp = 0.754$ эВ² [5, 7], $\epsilon_0 = 1.82$. 3 - эксперимент.

Так как нас будут интересовать колебания вдоль оси \vec{c} СР, направленной перпендикулярно к слоям, под E_1 будем понимать нормальную компоненту напряженности электрического поля в полупроводниковом слое. Оптические свойства СР определяются компонентой тензора эффективной диэлектрической постоянной $\mathcal{E} = \bar{D}/\bar{E}$, где \bar{D} и \bar{E} - усредненные по объему СР нормальные компоненты вектора индукции и напряженности поля. Таким образом, \mathcal{E} определяется не "действующим" полем E_1 , а средним полем \bar{E} . Выражая поле E_1 через \bar{E} и подставляя в (1), получим

$$\ddot{x} + \nu \dot{x} + \omega_0^2 x = \frac{\epsilon_0}{m} \frac{\mathcal{E}_0}{\mathcal{E}_f + C(\epsilon_0 - \mathcal{E}_f)} \bar{E} e^{i\omega t} - \frac{4\pi Ne^2}{m} x \frac{1-C}{\mathcal{E}_f + C(\epsilon_0 - \mathcal{E}_f)}, \quad (2)$$

где $C = t_f / (t_f + t_o)$ - концентрация полупроводника в СР, t_f и t_o - толщины слоев полупроводника и диэлектрика. Присутствие второго члена в правой части уравнения (2) приводит к появлению новой резонансной частоты:

$$\omega_r = \left[\omega_0^2 + \frac{4\pi Ne^2}{m} \frac{1-C}{\mathcal{E}_f + C(\epsilon_0 - \mathcal{E}_f)} \right]^{1/2}. \quad (3)$$

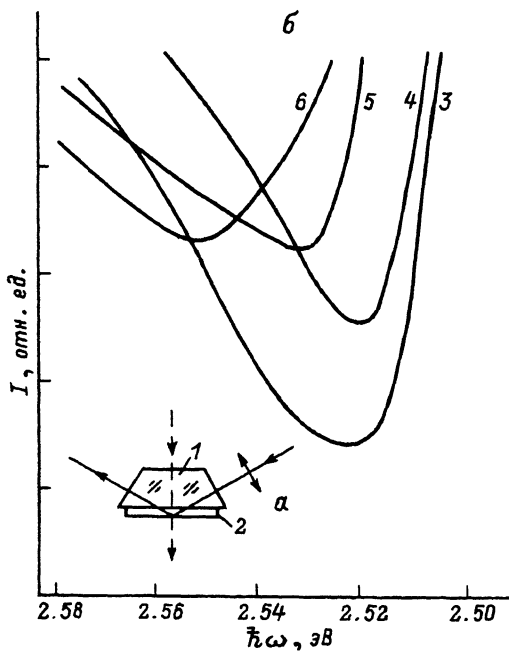


Рис. 2. Схема оптических измерений (а) и экспериментальные зависимости $I(\hbar\omega)$ (б). 1 - стеклянная призма, 2 - СР. Кривые 3, 4 - соответствуют пленке PbI_2 , 5, 6 - СР с $t_1 = 72 \text{ \AA}$, $t_0 = 104 \text{ \AA}$; 3, 5 - $\vec{E} \perp \vec{c}$, 4, 6 - $\cos(\vec{E} \cdot \vec{c}) \geq 0.9$.

При $\omega_0 = 0$ и $C \rightarrow 0$ (система тонких удаленных друг от друга металлических слоев) ω_r соответствует частоте возбуждения плазмонов [4]; при $\omega_0 \neq 0$ имеет место высокочастотный сдвиг резонанса, уменьшающийся при утончении диэлектрических слоев, т.е. при $C \rightarrow 1$. Как видно из уравнения (2), сдвиг частоты возникает из-за появления дополнительной квазиупругой силы, пропорциональной "екситонной" составляющей поляризации $P = Nex$, что обуславливает коллективный характер резонанса.

Зависимости энергетического сдвига $\Delta(\hbar\omega) = \hbar\omega_r - \hbar\omega_0$ от C для СР из слоев PbI_2 и Na_3AlF_6 , рассчитанные с помощью соотношения (3), представлены на рис. 1. При расчетах использованы экспериментальные данные, полученные в [5-7] для кристаллического PbI_2 . Рассмотрены случаи, когда в слоях PbI_2 ось $C_6//c$ и $C_6 \perp c$. Примечательной особенностью является то, что, несмотря на высокую анизотропию диэлектрической постоянной ($\epsilon_{f//} = 4$, $\epsilon_{f\perp} = 10$), энергетический сдвиг $\Delta(\hbar\omega)$ слабо зависит от ориентации вектора \vec{E} . Данный эффект обусловлен компенсацией анизотропии ϵ_f анизотропией силы осциллятора экситона.

2. Экспериментальное исследование экситонных резонансов проведено на СР из чередующихся слоев PbI_2 с толщиной 72 \AA и

слоев Na_3AlF_6 с толщиной, варьируемой от 100 до 300 Å. Поскольку радиус экситона в PbI_2 составляет 9 Å [5], есть основания полагать, что в полупроводниковых слоях СР толщиной 72 Å экситонный спектр подвержен относительно малому возмущению.

СР с высокой периодичностью (отклонение от которой не превышало 2%) получены осаждением из молекулярных пучков. По данным структурного анализа, PbI_2 в СР образует сплошные текстурированные слои с преимущественной ориентацией кристаллографической оси C_6 перпендикулярно плоскости слоя. Слои Na_3AlF_6 обладают мелкодисперсной поликристаллической, либо аморфной структурой. Оптические измерения проводились при 77 К для $\vec{E} \perp \vec{c}$ в проходящем свете при нормальном падении и для $\cos(\vec{E} \wedge \vec{c}) \approx 0.9$ в отраженном р-поляризованном свете при наклонном падении на СР (см. рис. 2, а). В последнем случае световой пучок в результате полного внутреннего отражения на свободной поверхности СР проходил через СР дважды, причем отражение от границы СР-подложка вносило относительно малый вклад. Спектральные зависимости измеренной интенсивности света I приведены на рис. 2, б для пленки PbI_2 и 20-слойной СР. Как видно из рис. 2, б, спектральное положение пиков поглощения для различных ориентаций вектора \vec{E} в случае пленки PbI_2 практически совпадает, что согласуется с данными [7], в то время как для СР наблюдается заметный высокочастотный сдвиг пика, соответствующего $\vec{E} \parallel \vec{c}$, относительно пика для $\vec{E} \perp \vec{c}$. Последний пик также несколько смешен в сторону больших энергий относительно пика PbI_2 , что, по-видимому, связано с размерными эффектами. Экспериментальная зависимость $A(\hbar\omega) = f(c)$, приведенная на рис. 1, находится в удовлетворительном согласии с расчетом для случая $C_6 \parallel c$, который, как отмечалось выше, соответствует реальной структуре СР.

Обнаруженный эффект концентрационного сдвига оптического резонанса создает принципиальную возможность для плавной перестройки резонансной частоты путем изменения соотношения толщин диэлектрических и полупроводниковых слоев СР. Диапазон „перестройки“ лежит в интервале между частотами поперечной ω_0 и продольной $\omega_4 = \left(\omega_0^2 + \frac{4\pi Ne^2}{m\epsilon_f} \right)$ волн, характерных для „массивного“ полупроводника.

Л и т е р а т у р а

- [1] Силин А.П. - УФН, 1985, т. 147, в. 3, с. 479-521.
- [2] Agranovich V.M., Kravtsov V.E. - Solid State Comm., 1985, v. 55, N 1, p. 85-90.
- [3] Miller D.A., Chemla D.S., Eilenberger D.J., Smith P.W. - Appl. Phys. Lett., 1982, v. 41, N 8, p. 679-681.

- [4] Слэтер Дж. Диэлектрики. Полупроводники. Металлы. М.: Мир, 1969. 647 с.
- [5] Шмандий В.М., Милославский В.К. - ФТТ, 1980, т. 22, в. 8, с. 2233-2239.
- [6] Милославский В.К., Рыбалка А.И. - УФЖ, 1975, т. 20, № 10, с. 1612-1615.
- [7] Hargrave G., Tosatti E. - Phys. Rev. Lett., 1972, v. 28, N 24, p. 1567-1570.

Поступило в Редакцию
13 апреля 1987 г.

Письма в ЖТФ, том 14, вып. 2

26 января 1988 г.

ЭЛЕКТРОННО-СВЕТОВОЙ ОТЖИГ СУЛЬФИДА КАДМИЯ

И.В. Крюкова, В.В. Капаев,
Ю.В. Копаев, Н.Н. Костин

Обычно лазерный отжиг полупроводников, таких как Ge , Si , $GaAs$, в наносекундном диапазоне длительностей импульсов удается описать в рамках теплового механизма [1]. Однако это не исключает возможности осуществления нетеплового механизма лазерного отжига при определенных экспериментальных условиях для класса веществ, у которых близко по энергии к основной фазе находятся другие фазы.

В настоящей работе исследуется механизм отжига нарушенных приповерхностных слоев CdS в условиях лазерной генерации ($\hbar\omega = 2.36$ эВ), возбуждаемой электронным пучком. Использовалась продольная геометрия накачки активных элементов из сульфида кадмия, которые представляли собой механически полированные с двух сторон плоскопараллельные пластины толщиной 150-1000 мкм. Электронный пучок диаметром 0.5 мм падал на поверхность пластины через "глухое" зеркало с коэффициентом отражения $R_1 \approx 92\%$. На другой поверхности, через которую выводилось излучение, устанавливалось полуопрозрачное зеркало с коэффициентом отражения $R_2 \approx 35-60\%$. Измерялись вольт-амперные характеристики лазеров при энергии возбуждающего электронного пучка ~ 200 кэВ и длительности импульса 8-10 нс в режиме одиночных импульсов.

На рисунке представлены зависимости плотности мощности P , генерируемой лазером, от плотности тока j в электронном пучке для различных длин активных элементов L . При некоторой плотности тока j_{cr} и плотности лазерного излучения P_{cr} имеет место скачкообразное возрастание мощности P . Нарастание P происходит за 5-8 импульсов, затем рост мощности прекращается. Скачки наблюдались в основном при облучении базовой плос-